

# ФРАКТАЛЬНАЯ ДИАГНОСТИКА

*М.Кутушов П.Курилко*

Теги: Фрактал, диссимметрия, аура, упругость, сознание, тело, вакуум.

## **ОСН. СОДЕРЖАНИЕ:**

- 1. Введение;**
- 2. Пространство Состояний Человека и Земного шара;**
- 3. Анатомия души (сознания) и физического тела, ГПК;**
- 4. Упругость Земной коры и диссимметрия сознания;**
- 5. Элементы фрактальной диагностики и форма;**
- 6. Основные результаты.**
- 7. Обсуждение результатов.**

## **ПРИЛОЖЕНИЯ:**

- 1. Псевдосфера, Тор – как формы пространства состояний;**
- 2. Визуализация фрактала в режиме анимации;**
- 3. Блок-Схема генерации фракталов;**
- 4. Индекс здоровья и Дополнительные иллюстрации.**
- 5. Литература.**

### **п.1.ВВЕДЕНИЕ (сознание и тела):**

Уже сегодня фракталы поставлены на службу здоровья человека. Однако методика интерпретации фракталогамм остается, до конца, не разработанной. Отчасти это связано с отсутствием четких определений понятий «Дух», «Сознание» и Тело, составляющих, как будет показано ниже, части одного целого, ДСТ. Дефицит определений затрудняет интерпретацию не только фракталогамм, но - и постановку любого другого врачебного диагноза. Дефицит определений становится особенно актуальным в силу того, что фракталлография опирается на ряд новых и малознакомых понятий – диссимметрия, физический Вакуум, тонкое тело [14] и т.п. Авторы поставили задачу расставить все, как говорится, по своим местам. То есть - найти формульное выражение триединства Духа (энергии пространства), энергии сознания (полевой компоненты бФ потенциала) и - физического тела. •Ценою долгих размышлений, было – наконец - получено базовое эмпирическое соотношение (1), связующее пространство и энергию сознания, удовлетворяющее общеизвестным фактам и проверенным теориям. Приведем логику нашего доказательства.

Пусть  $x(0)$  -показатель диссимметрии,  $h$  -характерный размер физического тела человека,  $R$  -расстояние от солнечного сплетения до точки наблюдения в пространстве Декарта. В принятых

обозначениях, энергоинформационный потенциал сознания  $W$  следует считать параметрической функцией аргумента  $z=R/h$ , зависящей от показателя диссимметрии  $x(0)$ :

$$W(z) := x(0) \cdot (1 - z) \cdot e^{-z} \quad (1)$$

Для проверки формулы (1), рассмотрим один предельный случай, который призван рассеять сомнения в справедливости последней. В случае, когда расстояние  $R$  оказывается много больше характерного размера физического тела  $H$ , потенциал души живого человека стремится к нулю. В точке  $R=0$  пот-л равен усредненному показателю диссимметрии  $x$ :

$$(2) \quad W = x(0).$$

Согласно (2), симметризация организма [ $x \rightarrow 0$ ] означает аннигиляцию сознания. Полагая, что потенциал физического тела пропорционален биопотенциалу духовному, мы приходим к выводу о биологической смерти человека, наступающей в предельном случае полной симметрии человека, находящегося одновременно в 2-х измерениях - **1**) Пространстве ДеКарта и **2**) в Пространстве состояний. •Справка: В последние годы активно обсуждается энергетика - во многом таинственного - объекта, называемого **ПС** или физический Вакуум [1]. В первом приближении, по мнению авторов, физический Вакуум есть атмосфера и стратосфера. И можно утверждать, что физический Вакуум есть аура Земного шара. Будучи насыщена информацией, аура становится ноосферой Вернадского.

## **п.2. ПРОСТРАНСТВО СОСТОЯНИЙ человека и ЗЕМНОГО ШАРА.**

Главным объектом внимания является, для нас, человек и его здоровье. А поскольку человек и среда его обитания (Земля) не разделимы, нам приходится изучать состояние среды, как внутренней, так и внешней. Только в «связке» человека со средой выясняется смысл того, что называется здоровьем и жизненная сила. В сферической системе координат с началом в центре Земли  $R_0=0$ , каждая точка физического пространства, **ПС**, характеризуется некоторой энергией. То есть, формально, радиус произвольной точки пространства  $R$  есть функция энергии  $g$ :

$$(2) \quad g=U[R], \quad R = R[g].$$

Можно утверждать, что «**ПС**» Земли периодически. В том смысле, что земной Шар, включая окружающее его пространство, имеет упругую пространственно-периодическую структуру. •Имея в виду независимость упругости периодической решетки от исчезающе малой плотности атмосферы в пределе большого  $R$ , физики говорят об упругости Вакуума **[2]!**

Согласно тибетской медицине, жесткость сферической решетки Земли и составляющих ее упругих оболочек должна возрастать по мере увеличения радиуса. Мы не случайно поставили Сознание и Ауру Земли в один ряд. Оба объекта, как легко догадаться, во многом подобны друг другу. Поэтому, изучение ауры Земли, по сути, неотделимо от изучения сознания человека (души).

## **п.3. АНАТОМИЯ СОЗНАНИЯ: ГИДРО ПРОТЕИНОВЫЙ КОМПЛЕКС**

•ТРИЕДИНСТВО ДУХА, СОЗНАНИЯ и ТЕЛА, [14]:

Имеется большое число публикаций, касающихся двумерной многопериодической и фрактальной решетки Кору. Решетки КВХ, на которой задано торсионное поле Земли [5,6,7]. Однако наличие 3-го измерения в пространственной структуре КВХ не упоминалось, до сих пор, нигде!?

Авторы нарушили «обет» молчания, обращая внимание на факт существования 3-го измерения геофизической Сети Хартмана-Витмана-Кари. То есть – доказывая наличие периодики ПС не только по угловым координатам, но и - по радиусу R. Последнее означает, что глобальная геофизическая Сеть ХВК есть двумерная проекция 3-х-мерной сети Курилко-Кутушова!

Следующие ниже соотношения (1) и (2) составляют базис всей концепции Триединства Духа, души и тела [2]! \*ПРИМ: Истоки «триединства» ведут к Христианству (Троица) и тибетским Учениям. Так, например, тибетские трактаты утверждают, что «грубость» отдельных «тонких» тел возрастает по мере увеличения параметра порядка. Как и любая сентенция учителей Востока, последняя требует уточнений. Например, не понятно, чем измерять «грубость» или «тонкость» Кору? (На интуитивных представлениях, науки не сделаешь). По авторской классификации, «ДУХ» есть полевая составляющая Вакуума. Телом же физического Вакуума (ноосферы Вернадского), в первом приближении, является поверхность земной Кору, топологическая размерность которой есть целое число «ДВА». В виду того, что неровности земной поверхности (горы, ущелья, впадины) выходят за рамки идеальной плоскости, естественно предполагать, что реальная размерность Кору будет несколько большей числа 2.

Авторами [1], было предложено считать размерностью проекции Земной Кору на пл. чертежа - дробное число, большее, но близкое 2. Оказалось, что реальная размерность Кору  $\sigma$ , учитывающая шероховатость последней, равна числу 2.16! Такой, что квадрат числа  $\sigma$  равен т.н. «постоянной» Фейгенбаума 4.67.

#### П.4: УПРУГОСТЬ КОРЫ и ДИССИММЕТРИЯ ДУШИ:

Итак, Земная Кора обладает двумерной периодической структурой, известной как Сеть Хартмана-Витмана-Кари. Основным свойством сети ХВК является ее упругие электромеханические колебания, которые – подчеркиваем - обусловлены движением Луны вокруг Земли. Зная о фрактальности земной Кору в целом, было несложно догадаться, что человек есть крохотный живой фрактал, имеющий (в среднем) ту же самую размерность и собственную ауру [2], подобную земной. Назовем абстрактного человека «фантом».

•В этом месте повествования, мы «заостряем» внимание нашего Читателя на деталях процедуры измерения УПРУГОСТИ» Кору. Мера упругости Кору и результаты любого эксперимента зависят от места проведения испытаний. •Спрашивается – Как следует измерять упругость неоднородной Земной Кору, определяющей ее фрактальную размерность? Математики предложили, для измерений локальной вариации упругости Кору, воспользоваться теорией случайных ф-й Чебышева. Согласно теории Чебышева, составляющей основу мат статистики, каждая случайная величина  $Z$  представляется в виде суммы ее математического ожидания  $\langle Z \rangle$  и вариативной случайной составляющей  $\delta Z$ :

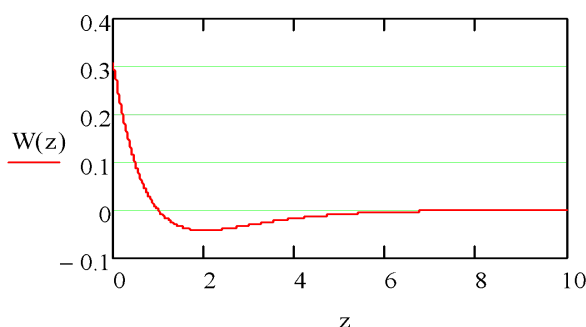
$$(3) \quad Z = \langle Z \rangle + \delta Z.$$

Неоднородность земной Кору состоит в случайном распределении плотности грунта по поверхности по глубине и радиусу. Свой вклад в неоднородность вносит и человек разумный. Индивидуальная фрактальность Хомо Сапиенс должна войти во 2-е слагаемое предыдущего соотношения.

Упругость Кора соединяет в себе ДВА свойства Объекта типа КОРА: хаотичность Т-поля, заданного Всевышним на периодической Решетке СЕТИ ХВК, и - его фрактальность. Логично будет вернуться назад и вновь спросить себя : какова же фрактальная размерность человека? (Кора – обитель для всех людей, но люди-то – разные!). Хотя решение принципиального вопроса о размерности фантома нам известно, [12], оно вынесено за рамки презентации учения о Триаде.

Определение триады «выглядит» неожиданно просто: Триада Кутушова [14] есть объединение 3-х свойств физического пространства – его фрактальности, дисперсности, диссимметричности в одной форме\*. Таким образом, выходит так, что именно ФОРМА объекта определяет все его свойства. То есть ФОРМА есть генеральная «управляющая» характеристика для каждого объекта природы. •Во фрактальной диагностике, т.н. коэффициент формы человека совпадает с коэффициентом упругости - диссимметрии. •Примером коэффициента формы эллипса служит эксцентриситет – отношение длин его 2-х полуосей!

Пусть  $W(z)$  -плотность распределения потенциала сознания в обычном пр-ве имеет вид функции (1). Тогда общий ПОТЕНЦИАЛ Сознания есть, смотри ниже, интеграл  $U(z)$ :

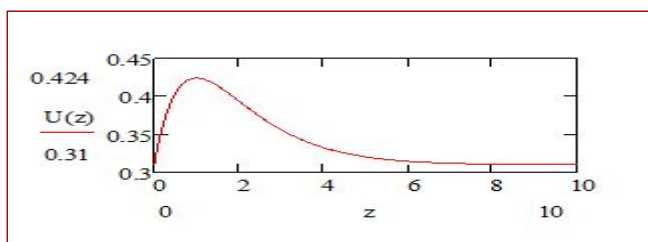


**РИС.1: Потенциал Сознания как функция радиуса z .**

Первообразная  $U(z)$  есть полная ауральная энергия человека, распределенная на интервале  $[0, z]$ .

$$(4) \quad U(z) = (C + \int_0^z W(x) * Dx)$$

Здесь  $C \equiv x(0)$  – первое слагаемое энергии человека  $U(z)$ , отражающее его - условно постоянный - биохимический потенциал;  $W(z)$ - переменная составляющая того же потенциала, которая ассоциируется, с сознанием.  $W(z)$  -плотность биоторсионного Поля человека, имеющая известное распределение по радиусу сферы  $z$  с центром, расположенным в области солнечного сплетения человека. Здесь, напоминаем,  $z$ -безразмерная переменная:  $z=R/H$ , где  $H$ - радиус тела (Хомо Сап) в приближении Шара;  $x(0)$ -интегральный показатель диссимметрии,  $R$ -расстояние от центра физ. тела человека до точки наблюдения.



**Рис.2:** Потенциал  $U(z, x)$  - функция радиуса  $z$  - построенная в сферических координатах, для конкретного человека с коэффициентом диссимметрии  $x$ :

$$x(0)=0.31.$$

•Внимание: Глядя на РИС.3, с удивлением замечаем, что с устремлением точки  $z$  к бесконечности, Потенциал сознания не обращается в ноль, а приближается к постоянной величине. Что же означает постоянство предельного значения первообразной функции  $U(z)$ , определяющей плотность Энергии сознания  $W(z)$ :

$$(5) \quad U(\text{Inf})=x[0]?$$

Ответ один. В пространстве ДЕ-Карта сознание человека имеет начало и конец в течение своего пребывания в теле человека. Но Сознание не ограничено рамками тела! Будем считать, что начинается сознание (энергетический пульсирующий сгусток) в области солнечного сплетения человека, а заканчивается на каком-то [бесконечно удаленном] астрофизическом Объекте, обладающем гравитационной массой. Пусть этим объектом будет Звезда.

Тандем <ЗВЕЗДА-ДУША> напоминает собою резиновый мяч «Ямагучи-Гуми». Пока человек жив, его Сознание «вибрирует» на, так называемой, гравитационной струне, которая связывает Звезду и тело невидимой нитью. Замечание: Не будем забывать о наличии 2-й гравитационной струны – центростремительной Силы, которая «тянет» тело человека к центру Земли. Обоснование расширенной модели сознания мы приведем в отдельном приложении. Отметим здесь лишь центральную идею своего доказательства. Симметричный ШАР, представляемый русским математиком Чебышевым (1828-1894), как математический образ человека, в модели Лобачевского, превращается в бесконечно вытянутую пирамиду кругового сечения, площадь которой  $S$  уменьшается по мере удаления от центра Шара  $R \rightarrow \text{Inf}$ . Площадь предельного сечения радиуса  $r$  есть

$$S=\Pi \cdot r \cdot r,$$

В модели фантома, безразмерная величина  $r$  есть, смотри Рис.3, предельное значение интегрального потенциала сознания (5). С другой же стороны, величина коэффициента  $r$  есть Показатель диссимметрии Кутушова, имеющий смысл постоянной интегрирования  $C$  в выражении для биопотенциала человека (4,6):

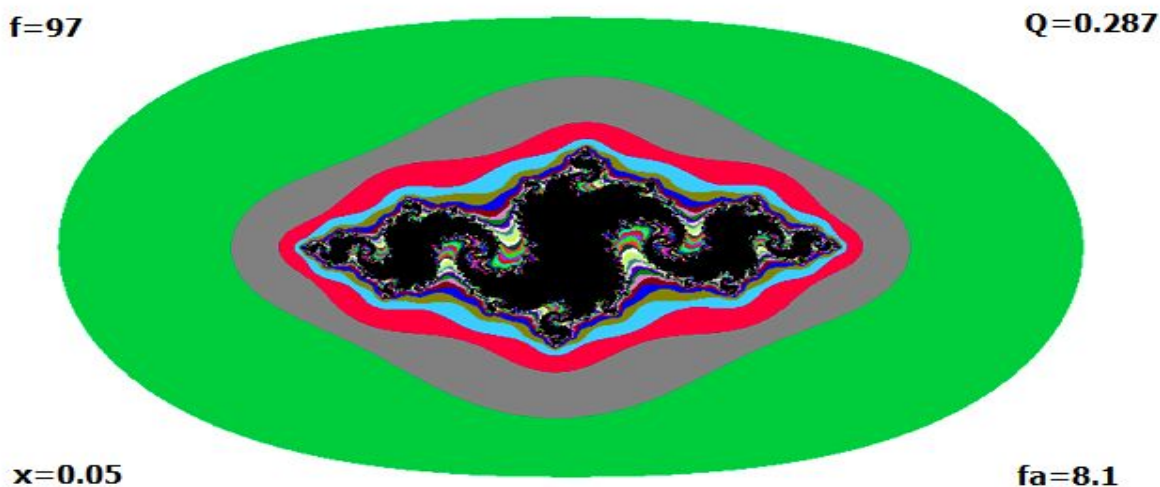
$$(6) \quad U(z) = (C + \int_0^z W(x) * Dx) \quad C \equiv r.$$

Согласно предыдущему, живой Фрактал представляет собой геометрический образ остронаправленной приемно-передающей антенны. Формы, которая является связующим звеном человека с «его» персональной Звездой. Смотри РИС.4.

#### **п.5: ЭЛЕМЕНТЫ ФРАКТ. ДИАГНОСТИКИ. ФОРМА и СОДЕРЖАНИЕ**

•В дополнение к двум предыдущим (анизотропия, диссимметрия) - существует еще одна характеристика фрактала. Это - декремент затухания автоколебаний биоэлектрического потенциала БП, определяемый коэффициентом формы  $x$ . По нашему определению, коэффициентом формы фрактального объекта является соотношение реальной и мнимой составляющих комплексного коэффициента квадратичного отображения Пуанкаре-Кутушова, производящего фрактал. •Справка-примечание: Примером большого декремента, в психиатрии и

неврологии, можно считать чрезмерную возбудимость ЦНС человека, которую классифицируют как неустойчивость психики. Иногда же – как «несносный» характер. Слишком большой декремент затухания приводят к нарушению связности фрактала. В натуре, в традиционной анатомии - к метастазированию опухолей. \*Напомним известные факты: чрезмерное повышение декремента вызывает появление в тканевой жидкости пораженных органов кубических (раковых) сингоний и сфероидальных гомологичных структур.



**РИС.3: ФРАКТАЛ УСЛОВНО - ЗДОРОВОГО ЧЕЛОВЕКА.**

Общая характеристика любого фрактала заключается в том, что тот состоит из ядра, обозначенного черным цветом, и - ПЕРИФЕРИИ - т.н. «ауры». Обращает на себя внимание тот факт, что АУРА – как и солнечная Радуга - состоит из 7-ми основных оттенков цветовой палитры! Оттенков, которые на изрезанной границе ядра фрактала (сепаратрисе) переплетаются др. с другом. Эффект взаимного проникновения разных цветов становится тем более заметным, чем теснее точка наблюдения приближается к черной зоне. • АУРА всегда представлена 4-мя периферийными оболочками!! •Предполагается, что ЯДРО фрактала человека (черный цвет) соответствует энергии биохимического потенциала (БХМ) его физического тела. Тогда как периферия фрактала (читай - аура) отвечает духовному потенциалу человека, сосредоточенному вблизи физического тела. Как показывает Рис.3, вся фрактальность человеческой ДУШИ, то есть - вариативной составляющей биопотенциала, локализована на периферии черного «Дракона» – в ближней ауре! Есть основания полагать, что 4 цветовые оболочки ауры соответствуют четырем т.н. тонким телам -1)ауральное, 2)ментальное, 3)астральное и 4)эфирное. В приложении №4 будет показана трансформация фрактала «крепьша» во фрактальное изображение онкологического больного.

#### **п.6: ОСНОВНЫЕ РЕЗУЛЬТАТЫ. ОБСУЖДЕНИЕ.**

Актуальность настоящей работы состоит в том, что она закладывает основы метода фракталлографии. Не менее актуально и то, что в ней дается характеристика Сознания человека с позиций теории групп, теории устойчивости Ляпунова и общей теории биопотенциала [11]. Показаны взаимосвязи сознания и, Духа и тела, сознания и Духа. Смысл наших результатов легко осознать, рассматривая их в историческом аспекте. В позапрошлом веке появилась т.н. неевклидова геометрия Лобачевского, перевернувшая тогдашние представления об окружающем нас мире. Первым серьезным приложением геометрии Лобачевского стали Труды фр. математика

Анри Пуанкаре [9], который - обнаружив связь неевклидовой геометрии Лобачевского с Теорией функций комплексной переменной - создал известную теорию отображений. Авторы, образно говоря, подхватили «эстафету» Пуанкаре и разработали приложение теории квадратичных отображений к человеку [8]. Одним из приложений нашей теории стала фракталоскопия и фракталография - новые методы диагностики здоровья и лечения. Добавим, что фрактальная Диагностика является результатом нового подхода к анатомии и физиологии человека. В основу новой анатомии положено понятие гидропротеинового комплекса - смеси белков (гидропротеинов) и воды, см [1,2,8,9]. Новая физиология зиждется не столько на биохимических реакциях, сколько – на физике процессов обмена энергиями. Причем речь идет о тройном обмене: 1)СОЗНАНИЕ – ТЕЛО , 2)СОЗНАНИЕ – Дух, 3) ТЕЛО - Дух.

## ПРИЛОЖЕНИЯ

### •ПРИЛОЖЕНИЕ-1: ПСЕВДОСФЕРА и ИНВАРИАНТНЫЙ ТОР.

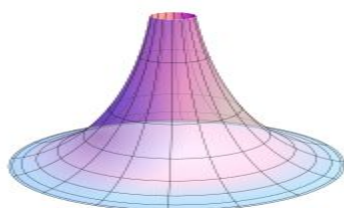


РИС.4

Псевдосфера, основанием которой является площадь горизонтального сечения сплюснутого эллипсоида вращения, изображенного на Рис.3.

•КОМ: В нашем примере (рис.1), радиус основания псевдосферы Лобачевского РИС.4, равен максимальному значению биопотенциала фантома:  $R_0=0.42$ . Постоянная  $R_0$  есть малый радиус малого тора, обозначенного на Рис. 5, 6 окружностями синего цвета.

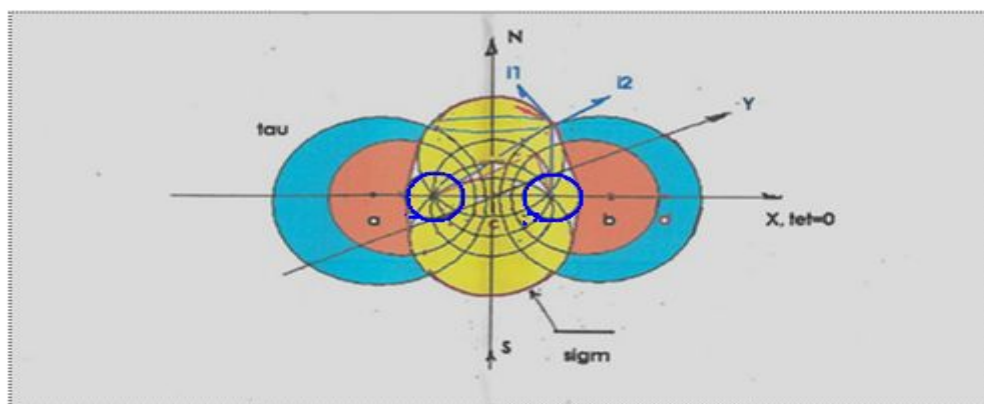


Fig.5: ИНВАРИАНТНЫЙ ТОР.

Физическое тело человека, в Проекции на плоскость чертежа, выделенное на рис.5 желтым цветом, имеет форму куриного яйца. Два кольца синего цвета – сечения 2-х поверхностей инвариантного тора, который является «полигоном» для зарядовой частицы, производящей фрактал, изображенный на рис.3.

\*\*\*\*\*  
\*\*\*\*\*Малый инвариантный тор есть т.н. генератор биоторсионного поля человека, который можно сравнить с первичной обмоткой трансформатора. •ЗАМ: У нашего генератора БТ – поля имеется «тело» и своя «форма» в виде уравнения итераций [8,9]. •ПРИМ: Минимальный радиус Системы торов рис.5 отвечает полусумме 2-х полуосей эллипса, рис.3, представляющего проекцию источника торсионного биологического Поля человека, заданного в тороидальной Системе координат [11].

РЕЗЮМЕ: Живой Фрактал таит в себе еще многие нераскрытые тайны. Но главное свершилось - физический смысл дробной размерности этого множества и ее функциональная Связь с показателем Диссимметрии уже поняты.

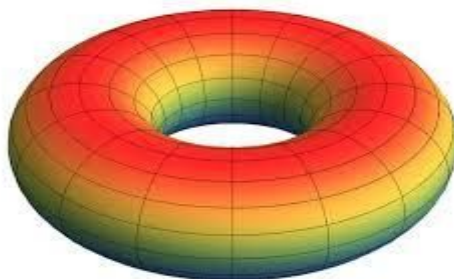


Рис.6: Малый Инвариантный тор

**ПРИЛОЖЕНИЕ-2: ВИЗУАЛИЗАЦИЯ ФРАКТАЛА в РЕЖИМЕ СЛАЙДШОУ.** *Анимация фрактала имеет место быть в режиме, когда частота пульса меняется с постоянным шагом в заданных пределах.* Динамика фрактала зависит от выбора комбинации параметров гомеостаза и параметров слайдинга – начального значения частоты пульса  $f$ , шага приращения частоты  $kA$  и числа кадров  $kD$ . Для размещения фракталов в рамках монитора, требуется подбирать и координаты прямоугольника (бассейна фракталов Кутушова), которые также зависят от параметров гомеостаза.

[https://drive.google.com/file/d/14j\\_jDIaDY0UgFRbEpUurTJliPjoxwVwa/view?usp=sharing](https://drive.google.com/file/d/14j_jDIaDY0UgFRbEpUurTJliPjoxwVwa/view?usp=sharing); Диск \_C: / SORDO-1/ Project.Dpr/unit.pas, 2.03.2018.

### **ПРИЛОЖЕНИЕ-3: СХЕМА ГЕНЕРАЦИИ ФРАКТАЛА.**

Схема Оценки обобщенного Показателя диссимметрии  $x$  и количества здоровья  $Q(x)$ , см (1), используются здесь как ПРИЛОЖЕНИЕ к Процедуре визуализации фрактала.



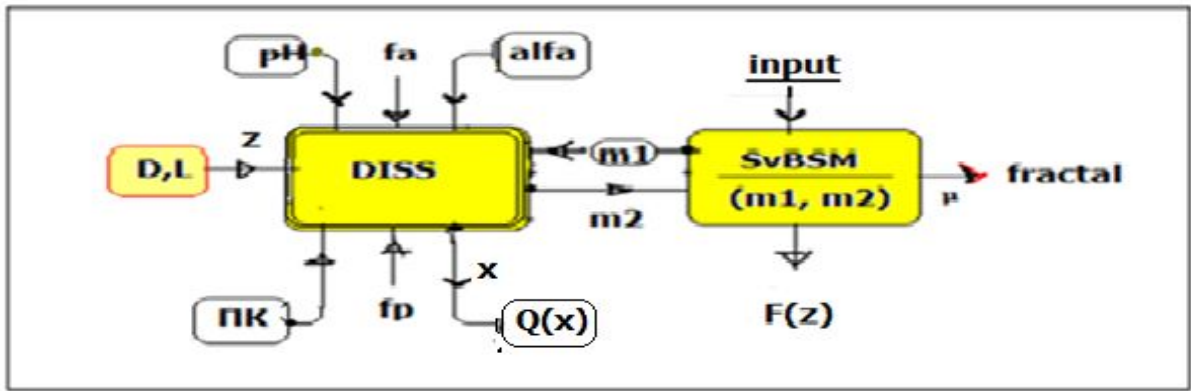


РИС.7:  $F(z)$  –Индекс болевого синдрома,  $\alpha$  ( $f_A$ )–частота Ритма альфа, pH и ПК –кислотности плазмы крови и ГПК,  $f_p$ –частота пульса; D и L -амплитуды волн правого и левого вращения, z –обобщенный Показатель гомеостаза:

$$z = -(D/L); \quad x = -[1 - (1/z)].$$

В основу Алгоритма Визуализации души человека положено уравнение итераций. То есть ур-е (4,5), которое - в силу сложившейся традиции – мы называем «генератор» фракталов:

$$(4) \quad z(n+1) = \psi\{z(n)\},$$

(5)

Здесь  $\mu = m_1 + i \cdot m_2$  – комплекс, определяемый рядом, указанных на рис.7, ключевых показателей гомеостаза. •Прим: Явный вид коэффициента  $\mu$  не приводится в настоящей работе, дабы не перегружать текст лишними формулами!

**ПРИЛОЖЕНИЕ-4: УРОВЕНЬ ЗДОРОВЬЯ и ДОП. ИЛЛЮСТРАЦИИ**  
 УРОВЕНЬ здоровья представляется эмпирической функцией  $Q(x)$  коэффициента диссимметрии  $x$ , изображенной на РИС.4. Каждый Пациент произвольной Выборки будет выглядеть, как изолированная «точка», расположенная на индексной кривой РИС.4.

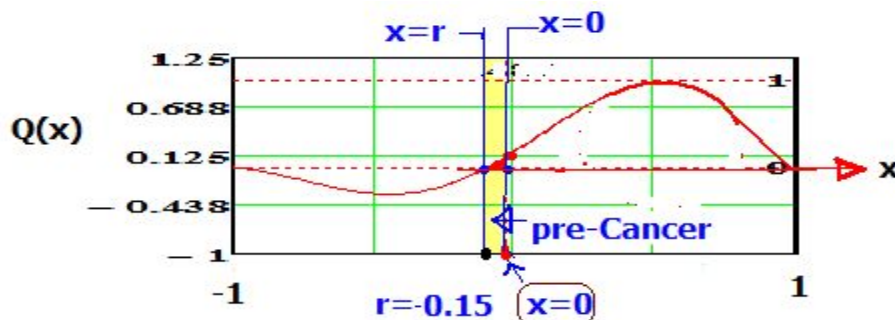
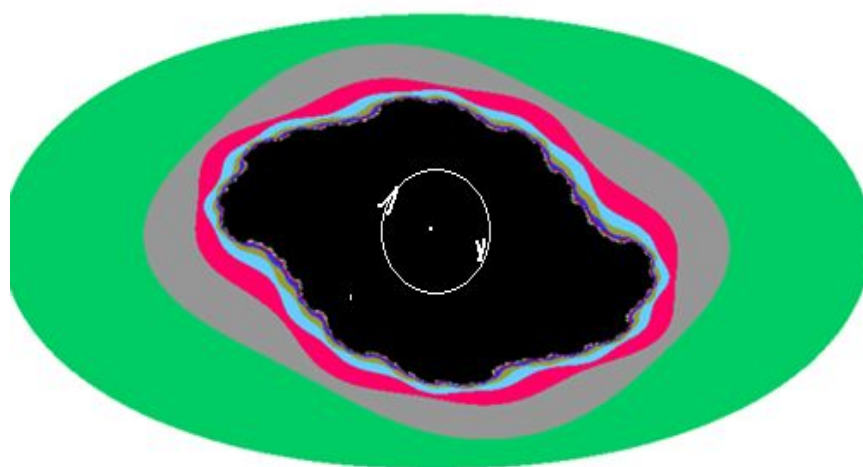


Рис.8: Индекс здоровья  $Q(x)$  как ф-я показателя диссимметрии  $x=m_2/m_1$ .

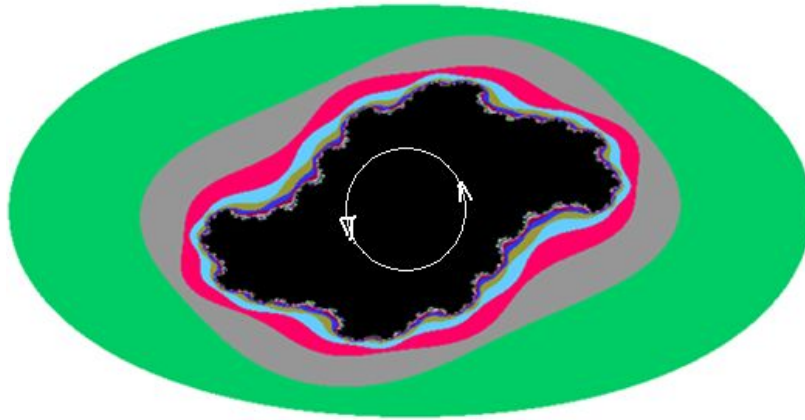
Сценарий превращения здорового человека в онкологического больного можно наблюдать двумя способами -1) схематически, на диаграмме Рис.4 и визуально - путем созерцания трансформации фазового (фрактального) портрета, некогда условно-здорового, человека. Злокачественное образование проявляет себя в том, что изображающая точка человека «переползает» справа – налево, в область отрицательных значений КД (x): Вместе с тем, изменяется и направление вращения вихря. Левое вращение, имеющее место быть на рис.10, меняется на правое вращение по часовой стрелке -рис.9. Фрактальный портрет Онкобольного, дополненный его параметрами гомеостаза Табл.2, представлен на Рис.9.

#### ДОПОЛНИТЕЛЬНЫЕ РИСУНКИ:



**Рис.9:** Фрактальный Портрет онкологического пациента с параметрами Таблицы 2

a	b	fb	pH	pD	D	L	fA	Alfa	x	O(x)
1.82	-0.56	95	7.24	7.43	90	50	8.1	11.5	-0.31	-0.26



**Рис.10: ЭТАЛОННЫЙ ФРАКТАЛ ЗДОРОВОГО ЧЕЛОВЕКА**

a	b	fn	nH	nD	D. ve	L. ve	fA	Alfa	x	O(x)
1.8	+0.8	85	7.24	7.57	30	90	7.1	7.91	0.444	+0.95

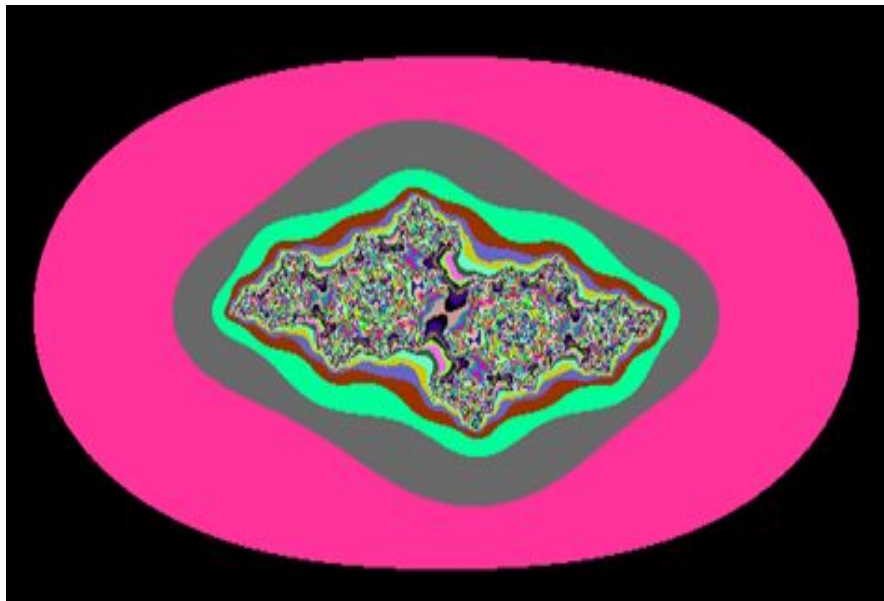
\*\*\*\*\*Таблица

2\*\*\*\*\*

Фрактальное изображение здорового человека мы оставляем без комментария.

На следующем РИС.11 представлен портрет пациента, находящегося в последней стадии Рака. По мере дезинтеграции здоровой плоти, фрактал – по сути дела – исчезает. На экране ПК, Он превращается в беспорядочный набор разноцветных пикселей, среди которых угадываются определенный порядок. - Имеется в виду цепочка черных «капель» - островков Изотропии, на фоне анизотропной ткани, аккуратно уложенных вдоль особой кривой, имеющей форму восьмерки.

**АННИГИЛЯЦИЯ ФРАКТАЛА.**



**Рис.11:** Инvertированный Портрет онкобольного, находящегося в 3-й стадии рака. Особенностью данного изображения является хаотизация траекторий изображающей частицы и появление, на экране монитора, цепочки «островков» симметрии, не принадлежащих живому фракталу! Вместе с тем, усматривается образование сфероидальных гомологичных структур.

a	b	fn	nH	nD	D. ve	L. ve	fA	Alfa	x	O(x)
2.96	-0.39	85	7.24	7.17	30	90	7.1	7.92	-0.13	-0.06

Таблица 3

### **ЛИТЕРАТУРА:**

[1]. Высшая физика вакуума, Эзотерика и Метафизика, автор = ???, 2018; Фрактальная Размерность Земной коры, Архивные Рукописи. Доступ: Файл TERRA-INC-3.Досх, Авторы М.Кутушов, П. Курилко, август 2016; •

[2] М. Кутушов, «Природа Рака. Раковая Природа», гл.1, 32: Материя Пространства, Элиста, «Джангар» -2008, 1056 стр.;

[3] Геометрия Лобачевского -YouTube, <https://www.youtube.com/watch?v=M7I9mXA3dyo>, 2018;

[4]. Теория Струн простыми словами, сайт: <http://www.pick-time.net/>, 2018;

[5] Геопатогенные зоны — Википедия, доступ: [https://ru.wikipedia.org/wiki/Геопатогенные\\_зоны](https://ru.wikipedia.org/wiki/Геопатогенные_зоны), 2013;

[6]. Анализ феномена «Земная энергетическая сетка» (Карри)...

<https://oko-planet.su> > Необычные явления > Размышления о феноменах\_2014.,

[7]. Сетка Карри. Энергетическая сеть Карри. Швейцарская сетка...energygap.ru/karri.php, 2018.

- [8]. М.Кутушов, П.Курилко, Фрактальная Геометрия в Диагностике здоровья, «Точная Наука», гор. Кемерово, Изд. Дом «Плутон», ISSN 2500-1152, Вып.№ 10, 2017;
- [9]. П.Курилко, М.Кутушов, Физика Фракталя: [www.kutushov.ru](http://www.kutushov.ru), Июнь -2017;
- [10]. А. Пуанкаре. [https://ru.wikipedia.org/wiki/Пуанкаре,\\_Анри](https://ru.wikipedia.org/wiki/Пуанкаре,_Анри); [11]. Г.Корн, Т.Корн, Справочник математика и инженера, Таблица 6.5-4, стр. 191, 1968;
- [12]. Фрактальная диагностика психосоматических заболеваний, доступ: Облачный файл, E:\ my Disk \Tesla-24.Docx, 13 стр, 47 ссылок, февраль 2018 год<sup>1</sup>. Дополнит. литература: [13]. <http://samnikitin.000webhost.com/>, 8.03.2018;
- [14]. М.Кутушов, Зеркальные Болезни, гл.2, стр.97: Доктрина о Троиединстве, 2016; [15]. М. Кутушов, Учебник нелинейной медицины: аура человека, стр.57, 2013.